

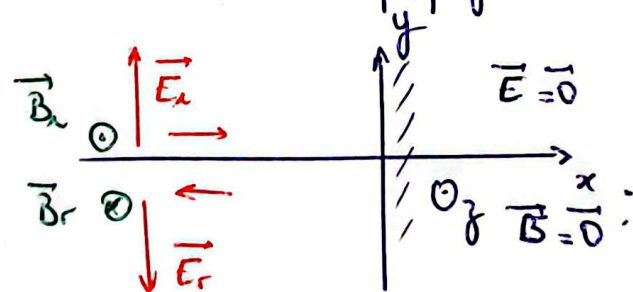
Pression de radiation - Conducteur

1. Maxwell-Faraday : $\nabla \cdot \vec{E} = -\frac{\partial \vec{B}}{\partial t}$

Sur en complexe $-ik\vec{n}_x \wedge E_0 \vec{u}_y = -i\omega \underline{\vec{B}_x}$

$$\begin{cases} \vec{B}_x = \frac{k}{\omega} E_0 \vec{u}_y - \frac{c_0}{c} \vec{u}_y \\ \underline{\vec{B}_{\text{ill}}} = \frac{c_0}{c} e^{i(\omega t - kx)} \vec{u}_y \end{cases}$$

i. L'onde incidente se propage dans les deux sens



Continuité de la composante tangentielle de \vec{E} à la limite de la surface en $z=0$

$$E_{\text{tot}}^{\text{tan}}(z=0^-) = E_{\text{tot}}^{\text{tan}}(z=0^+)$$

$$E_{x,y}(z=0^-) + E_{x,y,\text{tan}}(z=0^+)$$

(superposition du champ incident et du champ réfléchi)

$$\vec{E}_{\text{tan}} = -\vec{E}_i(z=0^-) - E_0 \exp(i\omega t) \vec{u}_y$$

(2)

$$\text{Donc } \vec{E}_i = -E_0 \exp(i\omega t + k_z z) \vec{u}_y + \underbrace{E_{0x} \exp(i\omega t + k_z z) \vec{u}_x}_{\begin{array}{l} \text{propagation} \\ \text{dans le sens} \\ \text{du z croissant} \end{array}}$$

la condition de passage
nous donne pas d'indication
sur la composante normale
(qui peut être nulle)

$$\text{Mais ici } \operatorname{div}(\vec{E}_i + \vec{E}_r) = \operatorname{div} \vec{E}_r = 0.$$

$$\text{Donc } E_{0x} (ik) = 0 \text{ et } E_{0x} = 0.$$

$$\text{Ainsi } \vec{E}_r = -E_0 \exp(i\omega t + k_z z) \vec{u}_y$$

Rq : on aurait pu a priori envisager une onde se propageant dans une direction différente
cad $k_{\text{réfléchie}} = k \vec{u}$ avec $k = \frac{\omega}{c}$
et \vec{u} quelconque.

On justifie proprement (k_{\tan} est mesure : convi)
que $k_{\text{réfléchie}} = -k \vec{u}$

$$26 \quad \vec{\operatorname{rot}}(\vec{E}_i + \vec{E}_r) = - \frac{\partial(\vec{B}_i + \vec{B}_r)}{\partial t}$$

$$\text{Mais on a imposé } \vec{\operatorname{rot}} \vec{E}_i = - \frac{\partial \vec{B}_0}{\partial t}$$

$$\text{Donc } \vec{\operatorname{rot}} \vec{E}_r = - \frac{\partial \vec{B}_r}{\partial t}$$

En compliquant on obtient : $+ \omega k \bar{u}_z \times (-c_s \bar{u}_y) = -i \omega \bar{B}_x$

$$\boxed{\begin{aligned}\bar{B}_n &= \frac{R}{\omega} E_0 \bar{u}_y \\ \bar{B}_x(t) &= \frac{E_0}{c} e^{i(\omega t + k_x)} \bar{u}_y.\end{aligned}}$$

2c Champs résultants (étatux)

$$\begin{aligned}\bar{E} &= \bar{E}_x + \bar{E}_r \\ &= E_0 \left(e^{-i(\omega t - k_x)} - e^{i(\omega t + k_x)} \right) \bar{u}_y \\ &= E_0 e^{-i(\omega t)} \underbrace{\left(e^{-ik_x} - e^{ik_x} \right)}_{-2i \sin k_x} \bar{u}_y\end{aligned}$$

$$\boxed{\begin{aligned}\bar{E} &= -2i \sin k_x E_0 e^{i\omega t} \bar{u}_y \\ \bar{E}(t) &= 2E_0 \sin k_x \sin \omega t \bar{u}_y.\end{aligned}}$$

$$\boxed{\begin{aligned}\bar{B} &= \bar{B}_x + \bar{B}_r \\ &= 2 \frac{E_0}{c} e^{i\omega t} \cos k_x \bar{u}_y \\ \bar{B}(t) &= 2 \frac{E_0}{c} \cos k_x \cos \omega t \bar{u}_y.\end{aligned}}$$

6.1. Densité moyenne d'énergie

$$\begin{aligned}\langle u \rangle &= \left\langle \frac{1}{L} GE^2 \right\rangle + \left\langle \frac{1}{L} \frac{B^2}{\mu_0} \right\rangle \\ &= \frac{1}{L} E_0^2 4 E_0^2 \sin^2 B_0 \underbrace{\left\langle \sin^2 \omega t \right\rangle}_{1/2} + \frac{1}{L \mu_0} 4 \frac{E_0^2}{c^2} \cos^2 B_0 \underbrace{\left\langle \cos^2 \omega t \right\rangle}_{1/2} \\ &\text{avec } \frac{1}{\mu_0 c^2} = \epsilon_0\end{aligned}$$

$$\underline{\langle u \rangle = \epsilon_0 E_0^2}.$$

Nombre moyen de photons par unité de volume $n = \frac{EE^L}{hv}$

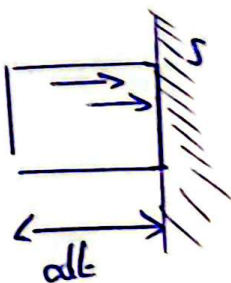
Nombre moyen de photons par unité de volume absorbé à l'onde incidente : $m_a = \frac{n}{2}$

(moitié du photon \rightarrow et l'autre moitié \leftarrow)

3- Les photons rentrent S pendant dt sont :

- * les photons se dirigeant vers S (arrivés à l'onde incident)
- * les photons situés à t à moins de $c dt$ (donc de l'ensemble de volume $S c dt$)

$$dN_{\text{photons rentrent } S} = m_a S c dt -$$



Variation de quantité de mouvement d'un photon lors d'un choc (réflexion)

$$\vec{P}_{\text{Paroi}} = + \frac{\rho v}{c} \vec{u}_2$$

$$\vec{P}_{\text{Papu}} = - \frac{\rho v}{c} \vec{u}_2$$

$$\Delta \vec{P}_{\text{photon}} = - 2 \frac{\rho v}{c} \vec{u}_2$$

L'ensemble des photons hantant S pendant dt voit sa quantité de mvt varier de

$$d\vec{P}_{\text{tous les photons}} = dN \Delta p_{\text{photon}}$$

$$= - 2 \frac{\rho v}{c} n_0 S c dt \vec{u}_2$$

Cette quantité de mouvement est échangée avec le miroir

$$d\vec{P}_{\text{miroir}} = + 2 \rho v n_0 S dt \vec{u}_2$$

Le miroir subi donc une force

$$\vec{F}_{\text{photon} \rightarrow \text{miroir}} = \frac{d\vec{P}_{\text{miroir}}}{dt} = + 2 \rho v n_0 S \vec{u}_2$$

Soit une portion de radiation

$$P = 2 n_0 \rho v = \langle u \rangle = 6 E_0^b$$

$$4a \quad \operatorname{div} \vec{E} = 0$$

$$\vec{\operatorname{rot}} \vec{E} = - \frac{\partial \vec{B}}{\partial t}$$

$$\operatorname{div} \vec{B} = 0$$

$$\vec{\operatorname{rot}} \vec{B} = \mu_0 \vec{j} + \epsilon_0 \mu_0 \frac{\partial \vec{E}}{\partial t}$$

$$\text{Donc } \vec{\operatorname{rot}} (\vec{\operatorname{rot}} \vec{E}) = \underbrace{\vec{\operatorname{grad}} (\operatorname{div} \vec{E})}_{''} - \Delta \vec{E}$$

$$= - \frac{\partial^2}{\partial t^2} (\vec{\operatorname{rot}} \vec{B})$$

$$= - \mu_0 \frac{\partial^2 \vec{B}}{\partial t^2} - \epsilon_0 \mu_0 \frac{\partial^2 \vec{E}}{\partial t^2}.$$

$$\boxed{\Delta \vec{E} = +i \mu_0 \frac{\partial \vec{E}}{\partial t} + \epsilon_0 \mu_0 \frac{\partial^2 \vec{E}}{\partial t^2}}$$

$$\text{De la forme demandée } A = \epsilon_0 \mu_0 = \frac{1}{c^2}$$

$$B = \mu_0 \gamma$$

Dans le cadre d'une évolution sinusoidale de pulsation ω .

$$\Delta \vec{E} = \mu_0 (i \gamma \omega - \epsilon_0 \omega^2) \vec{E}$$

$$\approx i \mu_0 \gamma \omega \vec{E} \quad \text{dans l'approximation } \gamma \gg \epsilon_0 \omega$$

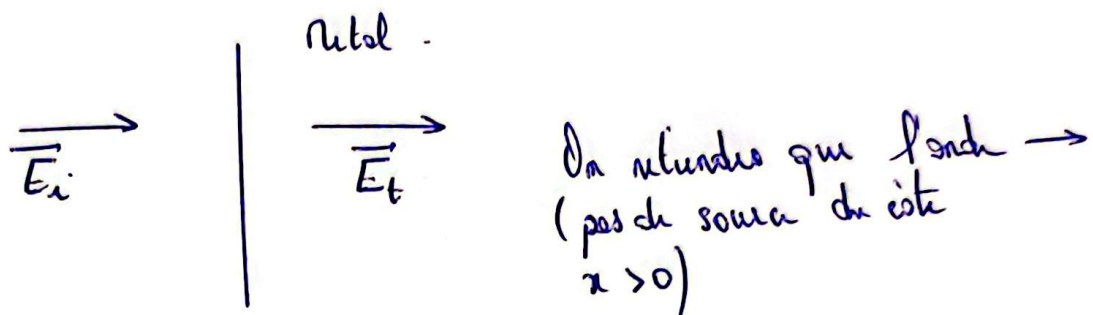
La solution proposée envoie

$$-K^2 = i \mu_0 \gamma \omega = -e^{-i \frac{\pi}{2}} \mu_0 \gamma \omega.$$

$$\text{Soit } K = \pm e^{-i \frac{\pi}{4}} \sqrt{\mu_0 \gamma \omega} = \pm \sqrt{\frac{\mu_0 \gamma \omega}{2}} (1 - i)$$

On obtient donc 2 solutions possibles.

$$\vec{E} = \underbrace{\underline{E}_{L_A} e^{-\alpha z} e^{i(wt - \alpha z)}}_{\text{Onde à propagant en l'altérmont dom R}} \vec{n}_y + \underbrace{\underline{E}_{L_B} e^{\alpha z} e^{i(wt + \alpha z)}}_{\text{Onde n propagant dans le sens } \leftarrow \text{ (en l'altérmont)}} \vec{n}_y$$



On retiendra $\vec{E} = \underline{E}_L e^{-\alpha z} e^{i(wt - \alpha z)} \vec{n}_y$

Sit $K = +\alpha(1-i)$

$$\text{Not } \vec{E} = -\frac{\partial \vec{B}}{\partial t} =$$

$$-iK \vec{n}_x \wedge \vec{E} = -i w \vec{B}$$

$$\vec{B} = \frac{\omega}{wC} (1-i) \underline{E}_L e^{i(wt - Kz)} \vec{n}_y$$

4c- On est ici dans le cadre d'une modélisation volumique. Les champs sont donc continués en $n=0$.

$$x \leq 0 \quad \begin{aligned} \vec{E}_L &= E_0 e^{i(\omega t - kx)} \vec{u}_y \\ \vec{E}_R &= E_R e^{-i(\omega t + kx)} \vec{u}_y \end{aligned} \quad \begin{aligned} \vec{B}_R &= \frac{E_0}{c} e^{i(\omega t - kx)} \vec{u}_y \\ \vec{B}_L &= -\frac{E_R}{c} e^{-i(\omega t + kx)} \vec{u}_y \end{aligned}$$

$$x \geq 0 \quad \begin{aligned} \vec{E}_L &= E_{L0} e^{-\alpha x} e^{i(\omega t - \alpha x)} \vec{u}_y \\ \vec{B}_L &= \frac{\alpha}{\omega c} (1-\alpha) E_{L0} e^{i(\omega t - kx)} \vec{u}_y \end{aligned}$$

Continuité en $x=0$

$$\begin{cases} E_0 + E_R = E_L \\ \frac{E_0}{c} - \frac{E_R}{c} = \frac{\alpha}{\omega} (1-i) E_L \end{cases}$$

$$\text{Donc } 2E_0 = (1 + \frac{\alpha c}{\omega} (1-i)) E_L$$

$$\boxed{\begin{aligned} E_L &= \frac{2}{1 + \frac{\alpha c}{\omega} (1-i)} E_0 \\ \vec{E}_L &= \frac{2}{1 + \frac{\alpha c}{\omega} (1-i)} E_0 e^{-\alpha x} e^{i(\omega t - \alpha x)} \vec{u}_y \\ \vec{B}_L &= \frac{\alpha}{\omega} \frac{2(1-i)}{1 + \frac{\alpha c}{\omega} (1-i)} E_0 e^{-\alpha x} e^{i(\omega t - \alpha x)} \vec{u}_y. \end{aligned}}$$

Dans le métal $\vec{J} = \sigma \vec{E}_L$

4d. * Force volumique

$$\vec{f} = \rho \vec{E}_t + \vec{j} \wedge \vec{B}_t = \vec{j} \wedge \vec{B}_t$$

* Force s'exerçant sur le volume $dSdx$.

$$d\vec{F} = \gamma \vec{E}_t \vec{u}_y \wedge \vec{B}_t \vec{u}_y dSdx.$$

$$= \gamma E_t B_t \vec{u}_n dSdx.$$

* La force moyenne \bar{m} :

$$\langle d\vec{F} \rangle = \gamma \langle E_t B_t \rangle \vec{u}_n dSdx.$$

Avec $\langle E_t B_t \rangle = \frac{1}{2} \left(\underline{E}_t \underline{B}_t^* \right)$

$$\frac{1}{2} \underline{E}_t \underline{B}_t^* = \frac{1}{2} \frac{2E_0}{1 + \frac{\alpha c}{\omega} (1-i)} e^{-\alpha x} \frac{\alpha}{\omega} \frac{2(1+i)}{1 + \frac{\alpha c}{\omega} (1+i)} E_0 e^{-\alpha x}$$

$$= \frac{\alpha}{\omega} \frac{2 E_0^L (1+i) e^{-\alpha x}}{\left(1 + \frac{\alpha c}{\omega}\right)^L + \left(\frac{\alpha c}{\omega}\right)^L}$$

$$\langle d\vec{F} \rangle = \gamma \frac{\alpha}{\omega} \frac{2 E_0^L e^{-\alpha x}}{\left(1 + \frac{\alpha c}{\omega}\right)^L + \left(\frac{\alpha c}{\omega}\right)^L} \vec{u}_n dSdx.$$

* Force totale s'exerçant sur dS .

$$\langle \vec{F} \rangle = \frac{\alpha \gamma}{\omega} \frac{2 E_0^L}{\left(1 + \frac{\alpha c}{\omega}\right)^L + \left(\frac{\alpha c}{\omega}\right)^L} \vec{u}_n dS \int_{x=0}^{+\infty} e^{-\alpha x} dx.$$

$$\underbrace{\frac{1}{\alpha} \left[e^{-\alpha x} \right]_0}_{\vec{u}_n}^{+\infty}$$

$$= \frac{\gamma E_0^L}{\omega \left(\left(1 + \frac{\alpha c}{\omega}\right)^L + \left(\frac{\alpha c}{\omega}\right)^L \right)} \vec{u}_n dS.$$

On obtient pour la puissance de radiation

$$P = \frac{\gamma E_0^2}{\omega \left(\left(1 + \frac{\alpha c}{\omega} \right)^2 + \left(\frac{\alpha c}{\omega} \right)^2 \right)}$$

Dans le cas d'un miroir parfait $\frac{\alpha c}{L} \gg 1$.

$$P \sim \frac{\gamma E_0^2}{\omega L \left(\frac{\alpha c}{\omega} \right)^2}$$

$$= \frac{\omega \gamma E_0^2}{L \alpha^2 C^2} \quad \text{avec } \alpha^2 = \frac{\mu_0 \gamma \omega}{L}$$

$$= \frac{\gamma E_0^2 \omega}{L \cancel{\mu_0 \gamma \omega} C^2}$$

$P = \epsilon E_0^2$

On retrouve la même expression et un résultat indépendant de γ avec rebond même si $\gamma \rightarrow +\infty$.